

# 最优化第三次上机作业

王恒亮 学号: 1601210102

本次实现了解决 Minimax Problems 的三种方法, 分别为 Least pth Method[2], Smoothing Method[4] 和 Adaptive Smoothing Method[3]。以下分别介绍算法及程序实现, 实验结果及分析。

## 1 算法及程序实现

### 1.1 Least pth Method

Least pth Method 主要通过优化 U 函数来解决 Minimax 问题, U 函数的定义如下:

$$U(x, u, p, \xi) = \begin{cases} M(x, \xi) \left( \sum_{i \in S(x, \xi)} u_i \left( \frac{f_i(x) - \xi}{M(x, \xi)} \right)^q \right)^{1/q}, & \text{for } M(x, \xi) \neq 0, \\ 0, & \text{for } M(x, \xi) = 0 \end{cases} \quad (1)$$

其中:

$$u_i \geq 0 \quad \text{and} \quad \sum_{i \in I} u_i = 1 \quad (2)$$

$$M(x, \xi) = \max_{i \in I} (f_i(x) - \xi) \quad (3)$$

算法的框架如下:

**步 1** 取  $p > 1, \xi^{(1)} = 0, u_i^{(1)} = 1, i \in I, x = x^0, r = 1$

**步 2** 固定  $u, p, \xi$ , 在公式 1 中对  $x$  取极小, 最优解设为  $x^r$

**步 3** 更新  $u$

$$u_i^{r+1} = \frac{v_i^{r+1}}{\sum_{j \in I} v_j^{r+1}}, i \in I$$

其中:

$$v_i^{r+1} = \begin{cases} u_i^r \left( \frac{f_i(x^r) - \xi}{M(x^r, \xi)} \right)^{q-1}, & \text{for } i \in S(x^r, \xi) \\ 0, & \text{for } i \in I - S(x^r, \xi) \end{cases}$$

$$S(x^r, \xi) = \begin{cases} \{i | f_i(x) - \xi > 0, i \in I\}, & \text{if } M(x^r, \xi) \geq 0 \\ I, & \text{if } M(x^r, \xi) < 0 \end{cases}$$

步 4 更新  $\xi$

$$\xi^{r+1} = \begin{cases} \xi^r + M(x^r, \xi^r), & \text{if } M(x^r, \xi) < 0 \\ \xi^r + \lambda M(x^r, \xi^r), & \text{otherwise.} \end{cases}$$

步 5 更新  $p, p = cp, c \geq 1$ , 转至步 2

在实现中, 除了计算出了最优点和最优点的函数值之外, 还记录了迭代次数, 函数调用次数, 具体的参数设置将在结果中说明。

## 1.2 Smoothing Method

Smoothing Method 是将 Minimax 问题转化为优化近似函数  $f(x, \mu)$ , 其定义如下:

$$f(x, \mu) = \mu \ln \sum_{i=1}^m \exp\left(\frac{f_i(x)}{\mu}\right)$$

对于  $f(x, \mu)$  的优化使用牛顿法求出下降方向, 使用 Armijo 准则找到步长, 在每步迭代后会更新  $\mu, \mu = \beta\mu$ 。对于  $f(x, \mu)$  的函数, 梯度和 Hessian 矩阵的计算如下:

$$f(x^k, \mu_k) = f(x^k) + \mu_k \ln \sum_{i=1}^m \exp\left(\frac{f_i(x^k) - f(x^k)}{\mu_k}\right)$$

$$\nabla_x f(x, \mu) = \sum_{i=1}^m \lambda_i(x, \mu) \nabla f_i(x)$$

$$\nabla_x^2 f(x, \mu) = \sum_{i=1}^m (\lambda_i(x, \mu) \nabla^2 f_i(x) + \frac{1}{\mu} \lambda_i(x, \mu) \nabla f_i(x) \nabla f_i(x)^T) - \frac{1}{\mu} \left( \sum_{i=1}^m \lambda_i(x, \mu) \nabla f_i(x) \right) \left( \sum_{i=1}^m \lambda_i(x, \mu) \nabla f_i(x) \right)^T$$

$$\lambda_i(x^k, \mu_k) = \frac{\exp\left(\frac{f_i(x^k) - f(x^k)}{\mu_k}\right)}{\sum_{j=1}^m \exp\left(\frac{f_j(x^k) - f(x^k)}{\mu_k}\right)}$$

### 1.3 Adaptive Smoothing Method

Adaptive Smoothing Method 是在 Smoothing Method 的基础对算法做了改进, 主要解决了在  $\mu \rightarrow 0$  时产生的 ill-condition 问题。Adaptive Smoothing Method 将 Minimax 问题转化为优化公式 4。

$$\Phi_p(x) = \log\left(\sum_{j \in Q} (\exp(pf^j(x)))\right)/p \quad (4)$$

具体算法如下:

步 1 取  $i = 0, k = 0, \gamma = 1$

步 2 设  $\Phi_{p_i,xx}(x_i)$  是 Hessian 矩阵 R 的 Cholesky 修正,  $c(R)$  为 R 的条件数的倒数, 则若  $\Phi_{p_i,xx}(x_i)$  正定且  $c(R) \geq k_1, p_i \leq k_3$ , 转步 3, 若  $\Phi_{p_i,xx}(x_i)$  正定且  $c(R) \geq k_1$  且  $\Phi_{p_i,xx}(x_i)$  的最大特征值  $\sigma_{p_i,max}(x_i)$  满足  $\sigma_{p_i,max} \leq k_2$ , 转步 3, 否则转步 4

步 3  $h_{p_i}(x_i) = -\Phi_{p_i,xx}(x_i)^{-1} \nabla \Phi_{p_i}(x_i)$ , 转步 5

步 4  $h_{p_i}(x_i) = -\nabla_{p_i} \Phi(x_i)$

步 5 计算步长

$$\lambda_{p_i}(x_i) = \max_{l \in N} \{\beta^l |\Phi_{p_i}(x_i + \beta^l h_{p_i}(x_i)) - \Phi_{p_i}(x_i)| \leq \alpha \beta^l \langle \nabla \Phi_{p_i}(x_i), h_{p_i}(x_i) \rangle\}$$

步 6  $x_{i+1} = x_i + \lambda_{p_i}(x_i) h_{p_i}(x_i)$

步 7 若  $|\nabla \Phi_{p_i}(x_i)|^2 \leq \tau(p_i)$ , 转步 8, 否则设  $p_{i+1} = 2p_i, i = i + 1$ , 转步 2

步 8 若  $p^* \leq \hat{p}, \gamma = 1$ , 其中  $p^*$  满足  $\epsilon_a(p_i) \leq |\nabla \Phi_{p^*}(x_i)|^2 \leq \epsilon_b(p_i)$ , 则设  $\gamma = \max\{2, (\hat{p} + 2)/(k + 1)\}, p_{i+1} = \gamma(k + 2), k = k + 1, i = i + 1$ , 否则设  $p_{i+1} = \gamma(k + 2), k = k + 1, i = i + 1$ , 转步 2

## 2 实验结果及分析

本次实验分别在 Xu[4] 中实验中第 2,3 题中的函数和 [2] 中的 Digital filter example 滤波器函数进行结果测试。实验结果如下:

## 2.1 Xu[4] 中例子 2

问题描述如下：

$$\text{minimize}_{i=1,2,3} f_i(x)$$

其中：

$$f_1(x) = x_1^4 + x_2^2$$

$$f_2(x) = (2 - x_1)^2 + (2 - x_2)^2$$

$$f_3(x) = 2 \exp(-x_1 + x_2)$$

初始点取值为  $(1, -0.1)$ ，最优点取值为  $(1, 1)$ 。各个方法的数值结果如表 1。

表 1: Xu 中例子 2

方法	$ f^* - f $	迭代次数	函数调用次数
Least pth	$7.2482 \times 10^{-5}$	24	72
Smooth Method	$4.3247 \times 10^{-7}$	28	57
Adaptive Smooth	$4.7311 \times 10^{-5}$	43	167

## 2.2 Rosen-Suzuki Problem

问题描述为：

$$F(x) = x_1^2 + x_2^2 + 2x_3^2 + x_4^2 - 5x_1 - 5x_2 - 21x_3 + 7x_4$$

$$g_2(x) = -x_1^2 - x_2^2 - x_3^2 - x_4^2 - x_1 + x_2 - x_3 + x_4 + 8$$

$$g_3(x) = -x_1^2 - 2x_2^2 - x_3^2 - 2x_4^2 + x_1 + x_4 + 10$$

$$g_4(x) = -x_1^2 - x_2^2 - x_3^2 - 2x_1 + x_2 + x_4 + 5$$

$$f_2 = F(x) - \alpha_2 g_2(x)$$

$$f_3 = F(x) - \alpha_3 g_3(x)$$

$$f_4 = F(x) - \alpha_4 g_4(x)$$

$$\alpha_2 = \alpha_3 = \alpha_4 = 10$$

初始值取值为  $(0, 0, 0, 0)$ ，最优解  $x^* = (0, 1, 2, -1)$ 。各个方法的数值结果如表 2。

表 2: Rosen-Suzuki Problem 数值结果

方法	$ f^* - f $	迭代次数	函数调用次数
Least pth	$3.6745 \times 10^{-5}$	13	39
Smooth Method	$1.4665 \times 10^{-10}$	47	147
Adaptive Smooth	$7.5858 \times 10^{-11}$	41	113

### 2.3 Digital filter example

滤波器函数主要参考了 [1] 中的函数。滤波器函数定义如下：

$$|H(x, \theta)| = A \prod_{k=1}^K \frac{N_k}{D_k} A \prod_{k=1}^K \left( \frac{1 + a_k^2 + b_k^2 + 2b_k(2\cos^2 \theta - 1) + 2a_k(1 + b_k)\cos \theta}{1 + c_k^2 + d_k^2 + 2d_k(2\cos^2 \theta - 1) + 2c_k(1 + d_k)\cos \theta} \right)^{1/2}$$

其中：

$$x = [a_1, b_1, \dots, c_K, d_K, A]^T$$

$$n = 4K + 1$$

则对其求导可得  $|H(x, \theta)|$  对  $x$  中各个变量的导数。

$$\begin{aligned} \frac{\partial |H(x, \theta)|}{\partial a_j} &= \frac{|H(x, \theta)|}{N_j^2} [a_j + (1 + b_j) \cos \theta] \\ \frac{\partial |H(x, \theta)|}{\partial b_j} &= \frac{|H(x, \theta)|}{N_j^2} [-1 + 2 \cos^2 \theta + a_j \cos \theta + b_j] \\ \frac{\partial |H(x, \theta)|}{\partial c_j} &= -\frac{|H(x, \theta)|}{D_j^2} [c_j + (1 + d_j) \cos \theta] \\ \frac{\partial |H(x, \theta)|}{\partial d_j} &= \frac{|H(x, \theta)|}{D_j^2} [-1 + 2 \cos^2 \theta + c_j \cos \theta + d_j] \\ \frac{\partial |H(x, \theta)|}{\partial A} &= \frac{|H(x, \theta)|}{A} \end{aligned}$$

再对导数求导可以得到其 Hessian 矩阵如下：

$$\begin{aligned}
\frac{\partial^2 |H(x, \theta)|}{\partial a_j^2} &= \frac{|H(x, \theta)|}{N_j^4} (1 - b_j)^2 \sin^2 \theta \\
\frac{\partial^2 |H(x, \theta)|}{\partial a_j \partial a_k} &= \frac{|H(x, \theta)|}{N_j^2 N_k^2} [a_j + (1 + b_j) \cos \theta] [a_k + (1 + b_k) \cos \theta], (k \neq j) \\
\frac{\partial^2 |H(x, \theta)|}{\partial a_j \partial b_j} &= \frac{|H(x, \theta)|}{N_j^4} (a_j (\cos \theta + 1) + \sin^2 \theta (2 \cos \theta - 2b_j \cos \theta - a_j b_j)) \\
\frac{\partial^2 |H(x, \theta)|}{\partial a_j \partial b_k} &= \frac{|H(x, \theta)|}{N_j^2 N_k^2} [a_j + (1 + b_j) \cos \theta] [-1 + 2 \cos^2 \theta + a_k \cos \theta + b_k], (k \neq j) \\
\frac{\partial^2 |H(x, \theta)|}{\partial a_j \partial c_k} &= -\frac{|H(x, \theta)|}{N_j^2 D_k^2} [a_j + (1 + b_j) \cos \theta] [c_k + (1 + d_k) \cos \theta] \\
\frac{\partial^2 |H(x, \theta)|}{\partial a_j \partial d_k} &= -\frac{|H(x, \theta)|}{N_j^2 D_k^2} [a_j + (1 + b_j) \cos \theta] [-1 + 2 \cos^2 \theta + c_j \cos \theta + d_j] \\
\frac{\partial^2 |H(x, \theta)|}{\partial a_j \partial A} &= \frac{|H(x, \theta)|}{N_j^2 A} [a_j + (1 + b_j) \cos \theta] \\
\frac{\partial^2 |H(x, \theta)|}{\partial b_j^2} &= \frac{|H(x, \theta)|}{N_j^4} (a_j + 2 \cos \theta)^2 \sin^2 \theta \\
\frac{\partial^2 |H(x, \theta)|}{\partial b_j \partial b_k} &= \frac{|H(x, \theta)|}{N_j^2 N_k^2} (-1 + 2 \cos^2 \theta + a_j \cos \theta + b_j) (-1 + 2 \cos^2 \theta + a_k \cos \theta + b_k), (k \neq j) \\
\frac{\partial^2 |H(x, \theta)|}{\partial b_j \partial c_k} &= -\frac{|H(x, \theta)|}{N_j^2 D_k^2} [-1 + 2 \cos^2 \theta + a_j \cos \theta + b_j] [c_k + (1 + d_k) \cos \theta] \\
\frac{\partial^2 |H(x, \theta)|}{\partial b_j \partial d_k} &= -\frac{|H(x, \theta)|}{N_j^2 D_k^2} [-1 + 2 \cos^2 \theta + a_j \cos \theta + b_j] [-1 + 2 \cos^2 \theta + c_j \cos \theta + d_j] \\
\frac{\partial^2 |H(x, \theta)|}{\partial b_j \partial A} &= \frac{|H(x, \theta)|}{N_j^2 A} [-1 + 2 \cos^2 \theta + a_j \cos \theta + b_j] \\
\frac{\partial^2 |H(x, \theta)|}{\partial c_j^2} &= \frac{|H(x, \theta)|}{D_j^4} (2(c_j + (1 + d_j) \cos \theta)^2 - (1 - d_j)^2 \sin^2 \theta) \\
\frac{\partial^2 |H(x, \theta)|}{\partial c_j \partial d_j} &= \frac{|H(x, \theta)|}{D_j^4} (4 \cos \theta - 5c_j^2 \cos \theta + 3c_j - 10c_j \cos^2 \theta - 2d_j \cos \theta \\
&\quad - 2d_j^2 \cos \theta - 2d_j \cos^3 \theta - 6 \cos^3 \theta + 2c_j d_j \cos \theta - 3c_j d_j - 6c_j d_j \cos^2 \theta) \\
\frac{\partial^2 |H(x, \theta)|}{\partial c_j \partial d_k} &= \frac{|H(x, \theta)|}{D_j^2 D_k^2} [c_j + (1 + d_j) \cos \theta] [-1 + 2 \cos^2 \theta + c_k \cos \theta + d_k], (k \neq j)
\end{aligned}$$

$$\begin{aligned}\frac{\partial^2 |H(x, \theta)|}{\partial c_j \partial A} &= \frac{|H(x, \theta)|}{D_j^2 A} [a_j + (1 + b_j) \cos \theta] \\ \frac{\partial^2 |H(x, \theta)|}{\partial d_j^2} &= \frac{|H(x, \theta)|}{D_j^4} [3(-1 + 2 \cos^2 \theta + c_j \cos \theta + d_j)^2 - D_j^2] \\ \frac{\partial^2 |H(x, \theta)|}{\partial d_j \partial A} &= \frac{|H(x, \theta)|}{D_j^2 A} [-1 + 2 \cos^2 \theta + c_j \cos \theta + d_j] \\ \frac{\partial^2 |H(x, \theta)|}{\partial A^2} &= 0\end{aligned}$$

在实验中逼近函数为  $S(\phi) = |1 - 2\phi|, 0 \leq \phi \leq 1$ , 误差函数为  $e(x, \phi) = |H(x, \theta) - S(\phi)|$ , 问题转化为  $\min_x \max_{0 \leq \Phi \leq 1} |e(x, \Phi)|$ 。  $\Phi$  的取值如下:

$$\begin{aligned}\Phi &= 0.0, 0.05(0.01); \quad i = 1, \dots, 6, \\ \Phi &= 0.07, 0.46(0.03); \quad i = 7, \dots, 20, \\ \Phi &= 0.5, 0.54(0.04); \quad i = 21, 22 \\ \Phi &= 0.57, 0.67(0.1); \quad i = 23, 24 \\ \Phi &= 0.63, 0.93(0.03); \quad i = 25, \dots, 35, \\ \Phi &= 0.95, 1.0(0.01); \quad i = 36, \dots, 41\end{aligned}$$

初始点设为  $(0, 1, 0, -0.15, 0, -0.68, 0, -0.72, 0.37)$ , 最优解为  $(0., 0.980039, 0., -0.165771, 0., -0.767228, 0.367900)$  各个方法的数值结果如表 3。

表 3: 滤波器数值结果

方法	$ f^* - f $	迭代次数	函数调用次数
Least pth	0.0064	7	21
Smooth Method	0.0086	26	105
Adaptive Smooth	0.0078	42	165

三种方法的误差曲线图如图 1,2,3。

## 2.4 结果分析

在实验中, 可以看出以下几点:

- Least pth 方法在几种情况是比较稳定的, 而且在几组实验中的迭代次数和函数调用次数均是最少的, 而且在滤波器的例子中达到了最优的效果。

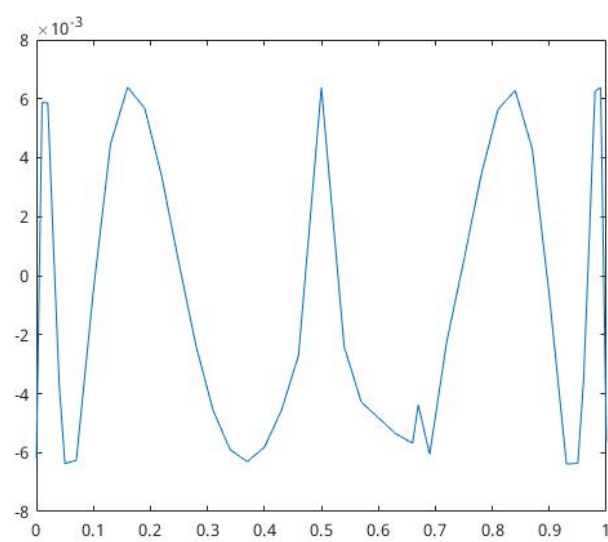


图 1: Leastpth 误差曲线

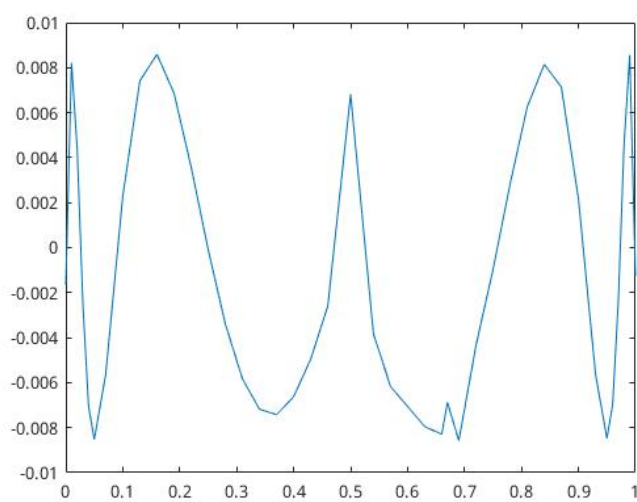


图 2: Smooth Method 误差曲线



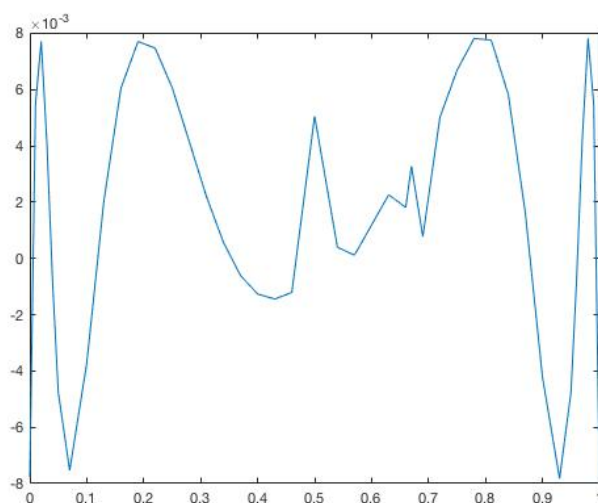


图 3: Adaptive Smooth 误差曲线

- Smooth Method 方法实现比较简单，同时在三组实验中也达到了较不错的效果。
- Adaptive Smooth Method 方法虽然是在 Smooth Method 的基础上进行改进的，但是并不能一定比 Smooth Method 的效果好，但在多数情况下能够比 Smooth Method 在更少的迭代次数和函数调用次数下达到更好的效果。方法的稳定性不如 Least pth 方法。

## 参考文献

- [1] C. Charalambous. Minimax design of recursive digital filters. *Computer-Aided Design*, 6(2):73–81, 1974.
- [2] Christakis Charalambous. Acceleration of the leastpth algorithm for minimax optimization with engineering applications. *Mathematical Programming*, 17(1):270–297, Dec 1979.
- [3] E. Polak, J. O. Royset, and R. S. Womersley. Algorithms with adaptive smoothing for finite minimax problems. *Journal of Optimization Theory and Applications*, 119(3):459–484, Dec 2003.

- [4] Song Xu. Smoothing method for minimax problems. *Computational Optimization and Applications*, 20(3):267–279, Dec 2001.